

<sup>208</sup>Pb(<sup>18</sup>O,F $\gamma$ ) **2002Ve08**

Type	Author	History Citation	Literature Cutoff Date
Full Evaluation	Jean Blachot	NDS 111, 1471 (2010)	1-May-2009

E=85 MeV. Measured E $\gamma$ , I $\gamma$ ,  $\gamma\gamma$  using the Euroball IV array comprised of 15 cluster Ge detectors, 26 clover Ge detectors and 30 tapered single-crystal Ge detectors.

<sup>113</sup>Rh Levels

E(level) <sup>†</sup>	J $\pi$	E(level) <sup>†</sup>	J $\pi$	E(level) <sup>†</sup>	J $\pi$	E(level) <sup>†</sup>	J $\pi$
0 <sup>‡</sup>	(7/2 <sup>+</sup> )	570.1 <sup>@</sup> 5	(11/2 <sup>+</sup> )	1074.7 <sup>‡</sup> 5	(15/2 <sup>+</sup> )	1410.8 <sup>@</sup> 10	(17/2 <sup>+</sup> )
211.7 <sup>#</sup> 3	(9/2 <sup>+</sup> )	683.7 <sup>#</sup> 4	(13/2 <sup>+</sup> )	1282.7 <sup>@</sup> 8	(15/2 <sup>+</sup> )	1773.7 <sup>‡</sup> 7	(19/2 <sup>+</sup> )
443.4 <sup>‡</sup> 3	(11/2 <sup>+</sup> )	935.1 <sup>@</sup> 6	(13/2 <sup>+</sup> )	1319.3 <sup>#</sup> 5	(17/2 <sup>+</sup> )	2036.9 <sup>#</sup> 10	(21/2 <sup>+</sup> )

<sup>†</sup> From least-squares fit to E $\gamma$ 's.

<sup>‡</sup> Band(A):  $\pi g_{9/2}$ ,  $\alpha = -1/2$ .

<sup>#</sup> Band(a):  $\pi g_{9/2}$ ,  $\alpha = +1/2$ .

<sup>@</sup> Band(B): Band based on (11/2<sup>+</sup>).

$\gamma$ (<sup>113</sup>Rh)

E $\gamma$	I $\gamma$	E <sub>i</sub> (level)	J $\pi$ <sub>i</sub>	E <sub>f</sub>	J $\pi$ <sub>f</sub>	Comments
211.6 3	100 15	211.7	(9/2 <sup>+</sup> )	0	(7/2 <sup>+</sup> )	
231.6 3	31 5	443.4	(11/2 <sup>+</sup> )	211.7	(9/2 <sup>+</sup> )	
240.3 3	40 5	683.7	(13/2 <sup>+</sup> )	443.4	(11/2 <sup>+</sup> )	
244.5 4	15 4	1319.3	(17/2 <sup>+</sup> )	1074.7	(15/2 <sup>+</sup> )	
347.5 5	10 3	1282.7	(15/2 <sup>+</sup> )	935.1	(13/2 <sup>+</sup> )	
358.4 4	26 5	570.1	(11/2 <sup>+</sup> )	211.7	(9/2 <sup>+</sup> )	
365.0 4	20 4	935.1	(13/2 <sup>+</sup> )	570.1	(11/2 <sup>+</sup> )	
390.9 4	20 4	1074.7	(15/2 <sup>+</sup> )	683.7	(13/2 <sup>+</sup> )	
443.5 4	25 6	443.4	(11/2 <sup>+</sup> )	0	(7/2 <sup>+</sup> )	
454.4 6	15 4	1773.7	(19/2 <sup>+</sup> )	1319.3	(17/2 <sup>+</sup> )	
472.1 4	29 5	683.7	(13/2 <sup>+</sup> )	211.7	(9/2 <sup>+</sup> )	
475.7 7	6 2	1410.8	(17/2 <sup>+</sup> )	935.1	(13/2 <sup>+</sup> )	
631.4 5	8 2	1074.7	(15/2 <sup>+</sup> )	443.4	(11/2 <sup>+</sup> )	
635.7 5	16 4	1319.3	(17/2 <sup>+</sup> )	683.7	(13/2 <sup>+</sup> )	
698.9 8	6 2	1773.7	(19/2 <sup>+</sup> )	1074.7	(15/2 <sup>+</sup> )	
713 <sup>†</sup>		1282.7	(15/2 <sup>+</sup> )	570.1	(11/2 <sup>+</sup> )	E $\gamma$ : from figure 4 of <a href="#">2002Ve08</a> .
717.6 8	6 2	2036.9	(21/2 <sup>+</sup> )	1319.3	(17/2 <sup>+</sup> )	

<sup>†</sup> Placement of transition in the level scheme is uncertain.

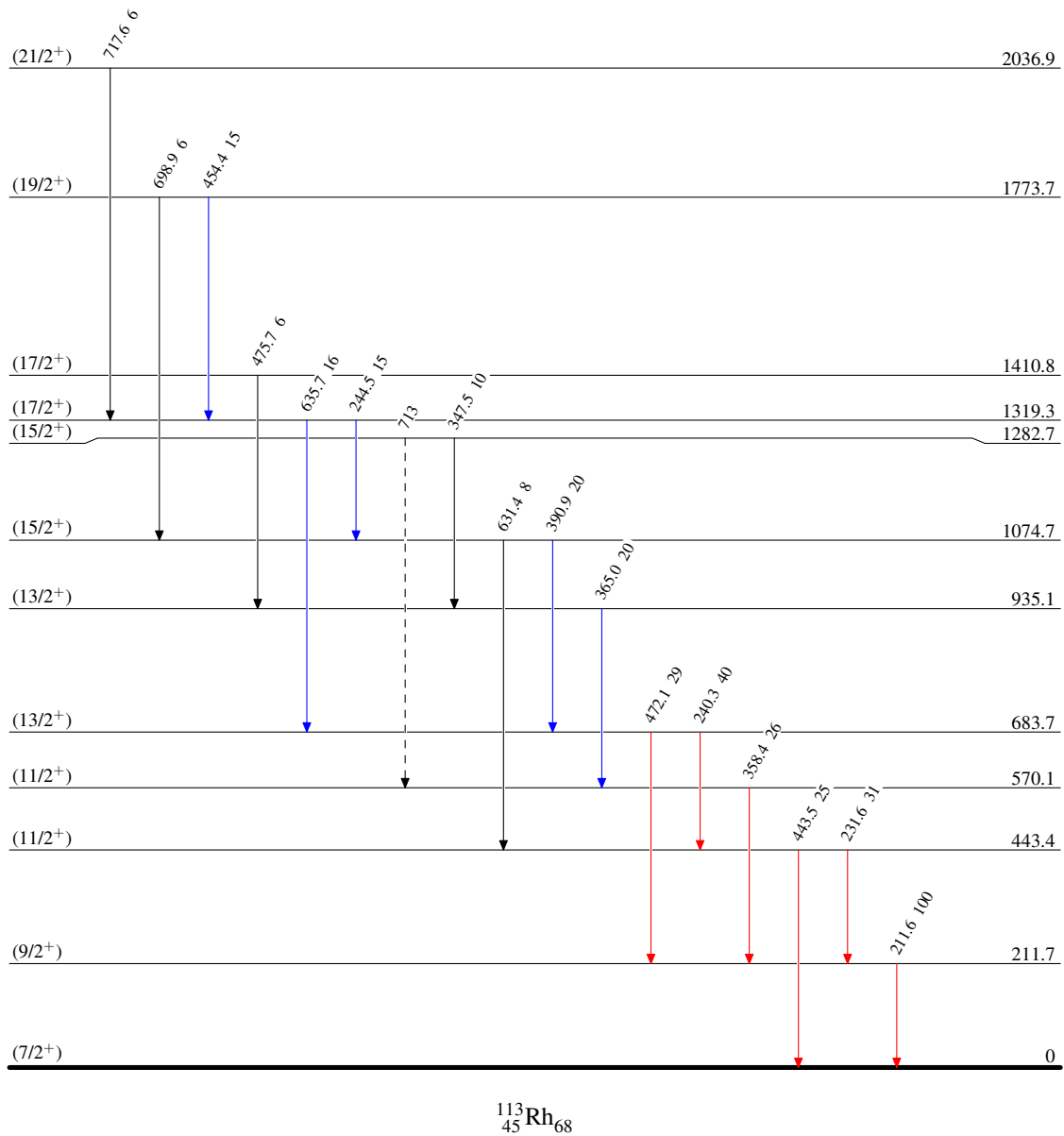
$^{208}\text{Pb}(^{18}\text{O},\text{F}\gamma)$  2002Ve08

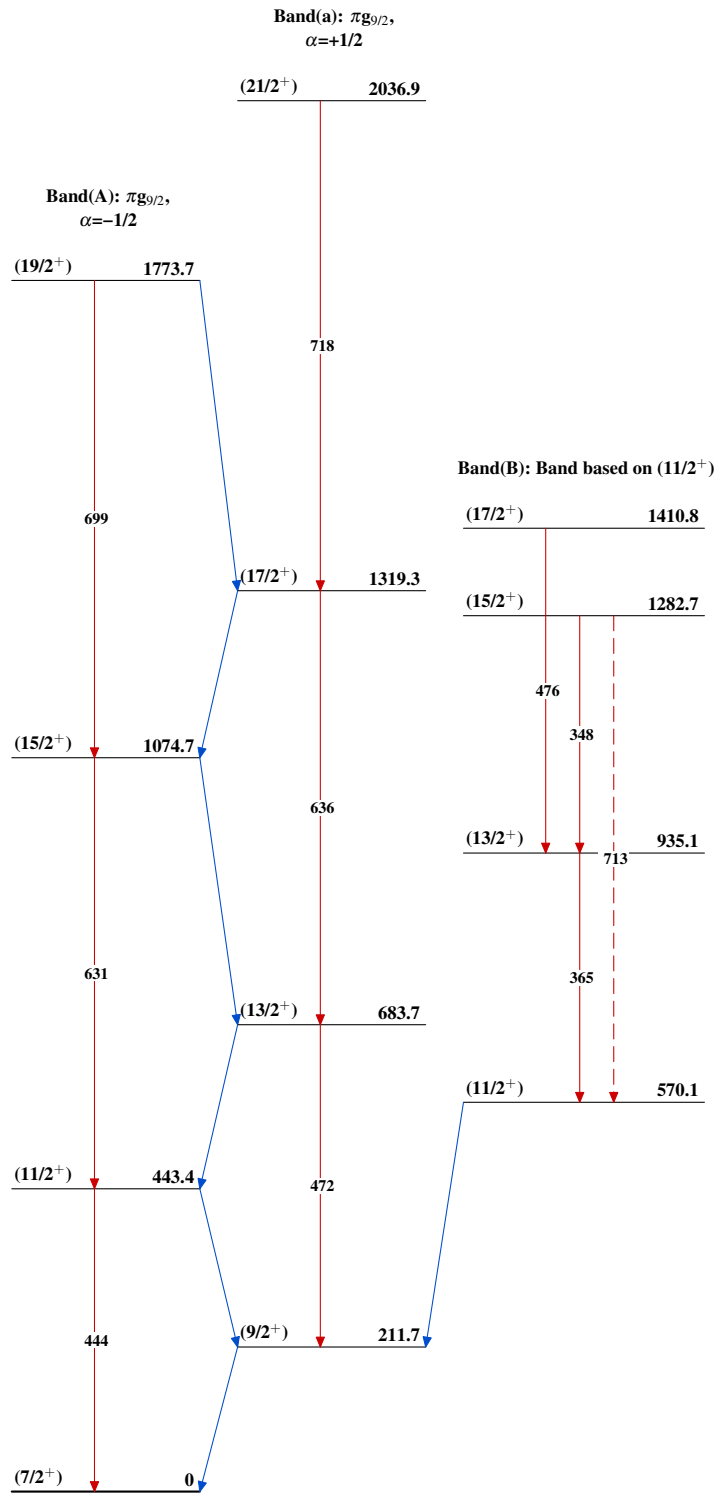
## Level Scheme

Intensities: Relative  $I_\gamma$ 

## Legend

- ▶  $I_\gamma < 2\% \times I_\gamma^{\text{max}}$
- ▶  $I_\gamma < 10\% \times I_\gamma^{\text{max}}$
- ▶  $I_\gamma > 10\% \times I_\gamma^{\text{max}}$
- - - -▶  $\gamma$  Decay (Uncertain)



$^{208}\text{Pb}(^{18}\text{O},\text{F}\gamma)$  2002Ve08 $^{113}_{45}\text{Rh}_{68}$